

راهکارهای سازگاری با تغییرات اقلیمی در کنترل مصرف انرژی ساختمان‌ها، با تمرکز بر بهره‌گیری از نفوذ‌هوا در اقلیم‌های مرطوب. نمونه موردی: شهر گرگان

فائزه خواجهی^۱، محمد فرخزاد^{۲*}، سید عرفان حسینی^۳

^۱دانشجوی کارشناسی ارشد، گروه معماری، دانشگاه آزاد اسلامی، واحد گرگان، گرگان، ایران

^۲استادیار گروه معماری، دانشگاه گلستان، گرگان، ایران

^۳عضو هیأت علمی گروه عمران، دانشگاه آزاد اسلامی، واحد گرگان، ایران

تاریخ دریافت: ۹۸/۱۲/۱۷؛ تاریخ پذیرش: ۹۹/۲/۱۹

چکیده

پارامترهای هواشناسی مبنای طراحی صرفه جویی در مصرف انرژی ساختمان‌ها و بهره‌برداری از سیستم‌های مکانیکی و تهویه‌ها است. در دهه‌های اخیر، عناصر هواشناسی و اقلیمی دچار تغییرات عمده‌ای شده و برنامه‌ریزی مدیریت مصرف انرژی در ساختمان‌ها باید متأثر از داده‌های جدید و تغییر یافته آب و هوایی باشد. با توجه به نیاز روزافزون افراد به مسکن و افزایش مصرف سوخت‌های فسیلی، نیاز به مسکن مناسب با اقلیم و ایجاد آسایش محیطی اهمیت یافته و به کارگیری روش‌های طراحی غیرفعال، از ارزان‌ترین راه حل‌ها جهت رسیدن به ساختمان‌های کم انرژی است. این مطالعه در جهت شناخت پتانسیل‌های تهییه طبیعی در گرگان برای تأمین سرمایش مجتمع‌های مسکونی می‌باشد. راهکارهای استفاده از تهییه طبیعی در طراحی یک مجتمع مسکونی عبارتند از تراس، فضای ارتباطی عمودی، تهییه مستقیم برای راهروها، تهییه عبوری داخلی، نحوه چیدمان و احدها برای دریافت مناسب‌ترین تهییه. به منظور کنترل تأثیر راهکارها، میزان مصرف انرژی طی دوره گرم سال در قالب یک پروژه کاربردی شبیه‌سازی شد. در این پژوهش، یک الگو با تهییه مکانیکی و ۴ الگو در ۲۲ حالت با بهره‌گیری از تهییه طبیعی طراحی و از نظر مصرف انرژی با یکدیگر مقایسه شدند. نتایج نشان داد که تنها ساختمانی دارای صرفه جویی قابل توجه در انرژی است که نفوذ هوای زیادی از طریق فضاهای مشاع میانی و احدهای طبقات داشته باشد و هرچه موانع بیرونی و داخلی در هدایت هوا کاهش یابند، میزان مصرف انرژی نیز کاهش می‌یابد.

واژه‌های کلیدی: تهییه طبیعی، نفوذ‌هوا، مصرف انرژی، ساختمان‌های مسکونی، اقلیم مرطوب.

مقدمه

توجه به کاهش مستمر انرژی‌های تجدید ناپذیر و همچنین وجود منابع مناسب انرژی‌های پایدار (خورشیدی، زمین گرمایی، باد و ...)، لازم است دست اندکاران ساختمان به عنوان بخش مهمی از اجتماع که مداخله فراوانی در محیط زیست دارند، در ساخت و سازهای خود تأمل بیشتری نموده و از ایده‌های جدید جهت کاهش مصرف انرژی و آلودگی‌های ناشی از آن بهره گیرند (عرب و فرخزاد، ۱۳۹۶). بدلیل زوال پذیر بودن منابع فسیلی، امروزه کاهش مصرف انرژی و استفاده از انرژی‌های تجدیدپذیر به مسائل مهم و اصلی هر جامعه ای تبدیل شده‌اند (اسماعیلی، ۱۳۹۵). منابع انرژی در جهان محدود است ولذا امروزه دستیابی به توسعه پایدار هدف بسیاری از کشورهای

امروزه گرمایش اقلیمی در سراسر جهان به یک اجماع بین‌المللی تبدیل شده است. تغییرات آب و هوایی تأثیر عمیقی بر مصرف انرژی ساختمان دارد (Cao et al., 2017). اخیراً، مطالعات بسیاری بر تأثیر تغییرات آب و هوای بر مصرف انرژی ساختمان‌ها به ویژه در مناطق مختلف اقلیمی معطوف شده است (Lama et al., 2008, Cai et al., 2009, Li et al., 2013, Ge et al., 2012). در دهه‌های اخیر، بحران آلودگی محیط زیست در دنیا به طور گسترده‌ای مطرح شده که موجب نگرانی جامعه انسانی می‌باشد و با

پنجره‌ای به پنجره دیگر اتاق، موجب جداسدن لایه هوای گرم و مرطوب از اطراف بدن ساکنان این فضاهای می‌شود و یکی از روش‌های خنک سازی فیزیولوژیکی ساختمان است که به ایجاد شرایط آسایش انسان در فضاهای داخلی در مناطق مرطوب منتهی می‌گردد (کسمایی، ۱۳۹۱). تهویه طبیعی فاکتور مهمی در بهبود قابل تحمل بودن و سلامتی محیط‌های درون ساختمانی است که به وسیله نیروی باد یا تهویه یا اغلب به وسیله ترکیب این دو نیز انجام می‌پذیرد (Van Hooff & Blocken, 2012).

پژوهش حاضر مطالعه‌ای در اقلیم مرطوب گرگان انجام داده است. ابتدا راهکارهای طراحی براساس راهبرد تهویه طبیعی استخراج شده، یک نمونه ساختمان مسکونی براساس ضوابط طرح جامع شهری گرگان (برحسب درصد تراکم مجاز و سطح اشغال زمین) با در نظر گرفتن تهویه طراحی شده است. در ادامه با توجه به راهکارهای ایجاد تهویه از قبیل: تهویه عبوری^۱، فضای ارتباطی عمودی ، فاصله گرفتن بلوک‌ها از یکدیگر ... تغییراتی در پلان طرح انجام و ۲ الگوی ساختاری ایجاد شده که هر کدام به صورت قرینه نیز بررسی شدند. در نهایت با استفاده از شبیه سازی انرژی این الگوها با یکدیگر مقایسه شدند تا بهترین شرایط مدیریت مصرف انرژی متاثراز نفوذ‌هوا تعیین شود.

پیشینه پژوهش

پژوهش‌ها نشان می‌دهند که عوامل متعددی بر میزان دریافت تهویه طبیعی ساختمانها مؤثر است. از این جمله می‌توان به پارامترهای بالکن‌ها، میزان نفوذ‌پذیری پوسته خارجی ساختمان، اجرای فضاهای ارتباطی عمودی، جهت‌گیری ساختمان در برابر باد و... اشاره نمود.

عمرانی و همکاران (۲۰۱۷) به منظور بررسی تاثیر بالکن در تهویه طبیعی و بالا بردن آسایش حرارتی در ساختمان‌های مسکونی تحقیقی را با روش کتابخانه‌ای و تجربی به کمک شبیه سازی تحلیل دینامیکی

جهان است. با توجه به رویکرد کشور برای کاهش وابستگی به منابع نفتی، و نیاز به کاهش مصرف انرژی در بخش‌های مختلف صنعت و ساختمان و بالابودن مصرف انرژی در ساختمان، به عنوان اولین گزینه در زمینه توجه به راهکارهای صرفه‌جویی در مصرف انرژی محسوب می‌شوند (غفاری جباری و همکاران، ۱۳۹۲). ساختمان‌ها مصرف انرژی زیادی را به خود اختصاص داده اند، بخش عمده این ساختمان‌ها، واحدهای مسکونی هستند. ساختمان‌های مسکونی بدلیل اینکه به صورت شبانه روزی و دائم در حال استفاده می‌باشند، تعداد ساکنان آن بیشتر از سایر بناها بوده و سطح اشغال زیادی را در شهرها دارند و میزان مصرف انرژی در آنها به طور قابل توجهی بیشتر از سایر ساختمان‌ها می‌باشد.

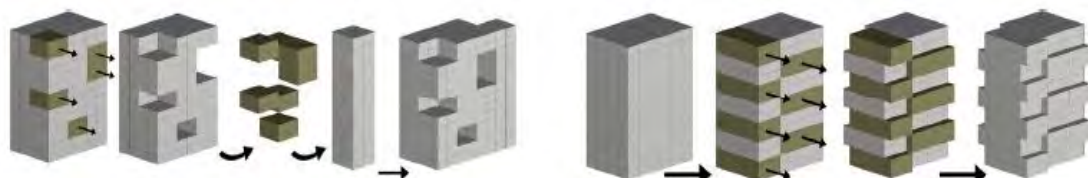
یکی از روش‌های کاهش مصرف انرژی استفاده از راهکارهای بومی و عوامل طبیعی مانند باد می‌باشد و بشر همواره به فکر کاربرد این انرژی در صنعت بوده است (اسماعیلی، ۱۳۹۵). راهبردهای طراحی غیرفعال^۲ با استفاده از انرژی‌های تجدید پذیر به عنوان راهکارهایی محسوب می‌شوند که هزینه کمی دارد. استفاده از این راهکارها می‌تواند به طور همزمان در تأمین آسایش حرارتی ساکنین و کاهش مصرف انرژی در ساختمان‌های مسکونی موثر باشد. اما تشخیص اینکه کدام یک از این راهکارها و به کارگیری کدام یک از انرژی‌های تجدید پذیر در هر اقلیمی کاربردی است نیاز به مطالعاتی دارد که با عنوان دانش زیست اقلیم شناسی^۳ شناخته می‌شود. از راهبردهای غیرفعال زیست اقلیمی در مناطق گرم یا دارای رطوبت زیاد، ایجاد تهویه طبیعی^۴ در ساختمان‌ها است (Givoni, 1998). تهویه‌ی طبیعی، یعنی استفاده از فرآیند جابه جایی هوای داخل ساختمان با هوای تازه ای بیرون از آن، بدون بهره گیری از دستگاه‌های مکانیکی، که موجب صرفه جویی در مصرف انرژی‌های فسیلی می‌شود (طاها بازوجلیلیان، ۱۳۹۰).

ایجاد کوران در فضاهای داخلی ساختمان، یا به عبارت دیگر، عبور آزادانه و نسبتاً سریع جریان هوا از

سیالات^۱ انجام دادند. در این پژوهش تعدادی از پارامترها مانند نوع بالکن، عمق بالکن، حالت تهویه و زاویه باد برای توسعه مطالعات مورد استفاده قرار گرفت. بالکن‌ها می‌توانند با دو ویژگی اصلی شناسایی شوند: عمق و نوع. بنابراین، برای ارزیابی اثر بالکن بر روی تهویه طبیعی و جریان هوای داخلی، موارد شبیه سازی با عمق و انواع مختلف بالکن ساخته شده است. تغییرات بالقوه تعریف شده با تنظیمات تهویه یک طرفه و متقطع مورد مطالعه قرار گرفت. برای تأثیر بالکن‌ها تحت تأثیر بادهای مختلف، مطالعات موردي تحت چهار جهت باد مورد آزمایش قرار گرفتند. نتایج نشان داد که اضافه کردن بالکن به یک ساختمان با تهویه یک طرفه می‌تواند عملکرد تهویه را بهبود بخشد. زمانی که مطالعه موردی در حالت تهویه متقابل انجام شد، بالکن، سرعت هوای داخلی را نیز کاهش داد. در عملکرد تهویه، تهویه یک طرفه نسبت به تهویه عبوری بیشتر به تغییر پارامترها حساس است. همچنین دریافتند که در میان پارامترهای مورد بررسی، زاویه باد، بیشترین تأثیر را بر تهویه طبیعی دارد. با مقایسه تهویه یکطرفه و عبوری در شرایط مشابه، عملکرد تهویه مناسب طبیعی در مورد تهویه عبوری بیشتر مشاهده شد.

سعادت جو و همکاران (۲۰۱۷) در مقاله‌ای به طور عمده به بهره گیری یک آپارتمان تراس دار از تهویه طبیعی در منطقه گرم و مرطوب پرداختند. یک بلوک صلب و ۴ آپارتمان متخلخل با عمق تراس‌های مختلف با استفاده از محاسبه CFD ارزیابی شد. پارامترهای تهویه، مانند میانگین سرعت هوا و میانگین سن هوا برای مقایسه عملکرد طبیعی تهویه، مقایسه شد. تمام مدل‌ها در جزیره گرم و مرطوب قسم طراحی شد(شکل ۱). دوره محاسبه از آوریل تا اکتبر ۲۰۱۴-۲۰۱۴ است.

1. CFD (Computational fluid dynamics)



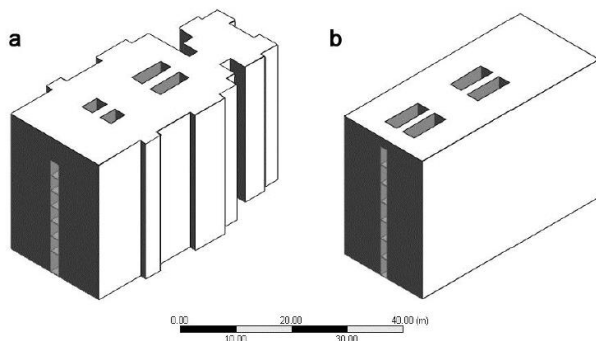
(Saadatjoo et al., 2017)

شبیه سازی محاسبه CFD مورد مطالعه قرار داردند. فضای ارتباطی عمودی به طور گستردگی ای در مسکن چند طبقه مورد استفاده قرار گرفته است تا تهویه طبیعی ناشی از آن در واحدهای مسکونی برای سلامتی و آرامش ساکنین ایجاد شود. مسکن چند طبقه مقررین به صرفه مالزی^۲ که در مناطق حومه ای شهرهای مالزی واقع شده، جهت پژوهش انتخاب شده است. روش‌های مورد استفاده در این تحقیق، اندازه گیری میدانی و شبیه سازی کامپیوتر با استفاده از نرمافزار CFD است. این مقاله به تاثیر فضای ارتباطی عمودی در تهویه ساختمان‌های مسکونی پرداخته است (تصویر ۲).

نتایج شبیه سازی به وضوح نشان داد که اجزای نفوذ پذیری به شکل تراس به طور قابل توجهی باعث ایجاد عملکرد تهویه طبیعی خواهد شد و برخی از تنظیمات فیزیکی مانند عمق تراس توانست این عملکرد را تا حد زیادی تحت تأثیر قرار دهد. طبق نتایج، افزایش عمق تراس تا $1/2$ متر، متوسط سرعت باد در داخل اتاق را 40 تا 88 درصد، $12/29-10/61$ درصد نزدیک پنجره و $63/44$ درصد در قسمت‌های باز را افزایش داد. نمودار سرعت باد یک روند نزولی بعد از طول $1/2$ متر دنبال می‌کند.

ماهسین^۱ و همکاران (۲۰۱۷) تهویه طبیعی در یک بلوک متصل به واحدهای مسکونی چند طبقه را برای کنترل آسایش حرارتی به روش کتابخانه‌ای و

پژوهشگاه علوم انسانی و مطالعات فرهنگی
پرتال جامع علوم انسانی



شکل ۲: (a)- مدل اعتبارسنجی و (b)- مدل مبتنی بر مدل پایه (Muhsin et al., 2017)

۳- اختلاف‌های دمایی: با افزایش دما، چگالی هوا کاهش می‌یابد و هوا به سمت بالا حرکت می‌کند و هوا خنک جایگزین آن می‌شود.
راهکارهای کالبدی ایجاد تهویه طبیعی را از نظر مکان استفاده می‌توان به سه نوع تقسیم کرد: تمهیدات کالبدی در سقف، تمهیدات کالبدی در دنما و بدنه ساختمان و ترکیبی از آن دو (CIBSE, 2005) بهمنظور استفاده از تهویه طبیعی از راهکارهای مختلفی استفاده می‌شود. باد خور، بادخان، دودکش‌های خورشیدی، پنجره‌های تهویه دار در یک طرف یا به صورت دو طرفه نماهای دو پوسته و استفاده از آتربیوم بر پایه اثر دودکشی، از جمله راهکارهای متداول برای تهویه طبیعی هستند (Allard & Ghiaus, 2005).

شرایط اقلیمی و نیاز به استفاده از بادهای مفید دلیل عدمه نحوه شکل گیری، جهت گیری و استقرار ساختمان‌های مسکونی نسبت به معابر در بافت سنتی شهرها و روستاهای بوده است. بخش‌های اصلی ساختمان عموماً بصورت احجام مکعب مستطیل بر روی محور شرقی - غربی استقرار یافته‌اند. در رابطه با اقلیم و استفاده بهینه از کوران باد بدنه ساختمان‌ها حداقل بطور عام از دو جهت شمال و جنوب به فضای آزاد متصل می‌باشد و در مواردی از سه یا چهار طرف بدنه بنا را آزاد می‌گذراند به همین دلیل تعداد بازشوها در جداره‌های بنا زیاد می‌شود و نمای خارجی به همان اهمیت نمای داخلی مطرح می‌شود (داوری نژاد مقدم و صلبی، ۱۳۹۰).

این مطالعه نشان داد که سرعت هوا در واحدهای مسکونی ساختمان مورد مطالعه به میزان مورد نیاز برای آسایش حرارتی نرسیده است. با این وجود، با افزایش اندازه آن در ۵۰ درصد از واحدهای مسکونی، عملکرد تهویه طبیعی در واحدهای مسکونی تا ۵۰/۸۸ درصد افزایش را نشان داد.

- اثرات فضای ارتباطی عمودی برای عملکرد تهویه طبیعی در واحدهای مسکونی برای ساختمان‌های هفت طبقه مورد بررسی قرار گرفت. بنابراین، این مطالعه نشان داد که ارتفاع مختلف ساختمان‌ها نیز ممکن است بر اثرات حفره‌ها تأثیر بگذارد، که توصیه می‌شود پژوهش بیشتری درباره آن انجام می‌گیرد.

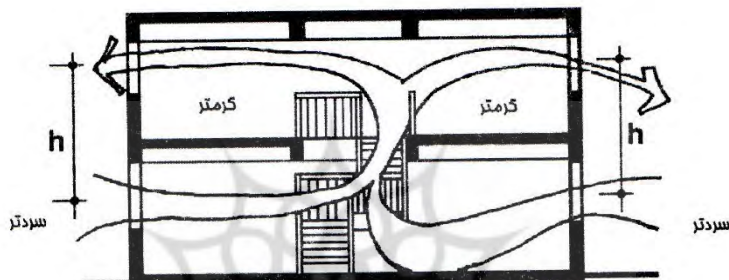
روش‌های ایجاد تهویه طبیعی در طراحی اقلیمی: تهویه طبیعی مبتنی بر سه پدیده اقلیمی سرعت باد، جهت باد و اختلاف دمایی است (Battle McCarthy, 1999):

۱- سرعت باد: جریان باد در برخورد با ساختمان باعث ایجاد یک میدان فشار در اطراف ساختمان می‌شود. این میزان این میدان فشار مبتنی بر سرعت باد است. در این رابطه تهویه هواکشی تنها زمانی مؤثر است که سرعت باد بیش از ۲.۵ متر بر ثانیه (۹ کیلومتر بر ساعت) باشد.

۲- جهت باد: اساسی تری عامل تعیین کننده نحوه عبور هوا از یک ساختمان، جهت وزش باد است. هنگامی که باد از روی ساختمان حرکت می‌کند، باعث ایجاد یک میدان فشار متغیر مثبت یا منفی می‌شود. سپس هوا از نواحی دارای فشار مثبت به نواحی دارای فشار منفی به جریان در می‌آید.

ساختمان، جهت استقرار ساختمان به ویژه جهت بازشوها نسبت به جهت وزش باد، کل مساحت پنجره‌ها و بازشوها واقع در منطقه فشار و مکش جدارهای ساختمان، نوع و جزئیات پنجره‌ها، موقعیت عمودی پنجره‌ها، موانعی که در فضای داخلی در مقابل جریان هوا از پنجره ورودی به پنجره خروجی قرار دارند، وجود یا عدم وجود توری پشت پنجره و جزئیات خاصی از ساختمان که باعث هدایت جریان هوا به داخل ساختمان می‌شود، بستگی دارد (کسمایی، ۱۳۸۸).

مهم‌ترین عامل در ایجاد کوران در فضاهای داخلی به منظور ایجاد آسایش حرارتی، وجود باد با سرعتی مناسب، حداقل حدود ۶/۷ متر در ثانیه است تا بتواند جریان هوایی با سرعت حدود ۱/۵ تا ۲ متر در ثانیه را در فضاهای داخلی ایجاد نماید. با توجه به اینکه ایجاد یا کنترل سیستم‌های کلی باد در اختیار طراح نیست، یکی از وظایف وی در ارتباط با استفاده از وزش باد در ساختمان، پیش‌بینی تمهدیاتی است که در صورت وزش باد مناسب، بتواند کوران مورد نیاز را در فضاهای داخلی ایجاد نماید. به طور کلی، عواملی از قبیل نوع



شکل ۳: تاثیر دودکشی راه پله در یک ساختمان دوطبقه (Givoni, 1998).

و در صورتی که به اندازه کافی بزرگ باشد، قادر است کل فضای مسکونی را به یک فضای یکپارچه تبدیل نماید (شکل ۳). در چنین حالتی، در نتیجه اختلاف حرارت داخل و خارج ساختمان، حتی در موقعی که سرعت وزش باد کم است و به ویژه در شبها که جریان هوا را کد است، جریان هوایی با سرعتی بیشتر از سرعت جریان هوا در ساختمان‌های یک طبقه ایجاد خواهد شد (Givoni, 1998).

ایجاد تهویه در آپارتمان‌های چند واحدی: در چنین ساختمانهایی، چنانچه واحد سوم به صورت عمود بر بلوک اصلی قرار داده شود و در صورتی که نمای اصلی ساختمان نسبت به جهت وزش باد مایل باشد، این واحد برای سایر واحدها سایه باد ایجاد خواهد کرد. در چنین حالتی، گرچه در تمام واحدهای مسکونی تهویه طبیعی ایجاد خواهد شد، اما شرایط حرارتی فضاهای داخلی این نوع آپارتمان به خوبی آپارتمانهای دو واحدی نیست، زیرا در تعدادی از

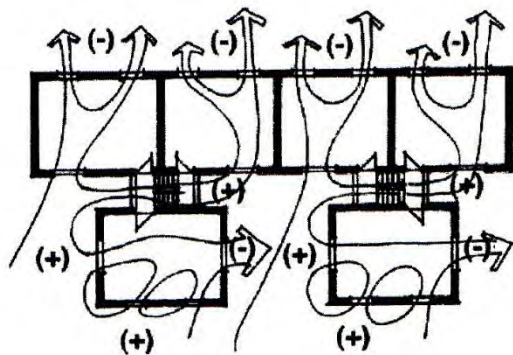
برخی از راهکارهایی که منجر به ایجاد کوران در فضای داخلی می‌شوند عبارتند از:

- به حداقل رساندن جریان هوا در اطراف ساختمان‌ها با ایجاد فاصله مناسب در بین آنها
- تنظیم پلان ساختمان به نحوی که امکان گردش هوا در اطراف ساختمان فراهم آید
- استفاده از پلانهای کشیده با مقاطع باریک
- استفاده از سقفهای بلند
- استفاده از تأثیر دودکشی^۱
- پیش‌بینی فضاهای داخلی باز و یکپارچه
- پیش‌بینی حداقل دو پنجره یکی رویه باد و دیگری پشت به باد برای هریک از اتاق‌ها (کسمایی، ۱۳۸۸).

تأثیر پلکان مرکزی در ایجاد تهویه: در تمام طبقات ساختمان مورد استفاده یک خانوار، پلکان مرکزی می‌تواند به عنوان دودکش مرکزی عمل کرده

1. Stack Effect

دارد این است که، پلکان یا کانال ارتباط عمودی، مجموعه را نیز از بلوک اصلی جدا نموده و امکان عبور هوا از داخل آن را فراهم نمایند (شکل ۵) (Givoni, 1998).



شکل ۵: هدایت جریان باد به واحدهای پشت به باد از طریق تفکیک فضای ارتباطی پله (Givoni, 1998)

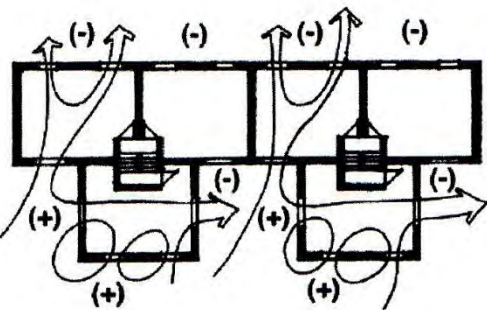
فضاهای ارتباطی عمودی تهویه طبیعی را تسهیل می‌کنند و کیفیت هوای داخل ساختمان^۱ را قابل کنترل می‌سازد. مطالعات قبلی نشان داد که ایجاد فضاهای ارتباطی عمودی در ساختمان‌ها می‌تواند عملکرد تهویه طبیعی در واحدهای زندگی را بهبود بخشد. فضاهای ارتباطی عمودی می‌توانند با افزایش اثر دودکشی، علی رغم عدم وجود باد در محیط خارج، تهویه عبوری و جریان مکشی عمودی را درون ساختمان ایجاد کنند (شکل ۶) (Murakami et al., 2004).

روش تحقیق

با توجه به اهمیت صرفه جویی انرژی در ساختمانهای مسکونی، در این پژوهش پس از شناخت ویژگی‌های اقلیمی منطقه، با یافتن زمان‌هایی که می‌توان از تهویه طبیعی استفاده کرد، راهکارهای طراحی غیرفعال جهت دستیابی به تهویه طبیعی و کاهش نیاز به صرف انرژی‌های فسیلی و الکتریکی مشخص گردید. طراحی یک ساختمان مسکونی^۴ طبقه ۱۲ واحدی با حفظ صورت بهینه پلان از نظر میزان تهویه

واحدها، کلیه نماها در منطقه مکش قرار می‌گیرد و امکان ایجاد کوران در فضاهای داخلی آنها فراهم نمی‌شود (شکل ۴) (Givoni, 1998).

یکی از راه حل‌هایی که برای ایجاد فشار در نماهای رو به باد واقع در سایه باد واحد سوم وجود



شکل ۴: قرارگیری واحد از طبقات ۳ واحدی در سایه باد (Givoni, 1998)

ایجاد تهویه از طریق فضای ارتباطی عمودی: فضای ارتباطی عمودی که در مرکز ساختمان چند طبقه قرار دارد و یک عنصر معماری غیرفعال است که برای نورپردازی و تهویه طبیعی از آن استفاده می‌شود (Farea, 2012), (Kotani et al., 2003) (Ismail, 1996) (et al., 2015).

فضاهای ارتباطی عمودی مزایایی را در جنبه‌های معماری، محیطی و ساختاری ساختمان‌ها بوجود می‌آورند که می‌توان آنها را به شرح زیر خلاصه کرد (Murakami et al., 2004)

(۱) کنترل زیست محیطی با بار زیست محیطی کم که با استفاده از پتانسیل محیط در فضای باز امکان پذیر است.

(۲) عملکرد سایه خورشیدی به کمک فضای ارتباطی عمودی در ساختمان‌ها بهبود می‌یابد

(۳) فضاهای ارتباطی عمودی با فرهای مناسب (فضاهای بافر بین فضاهای زندگی خصوصی و عمومی) را به فضاهای زندگی تبدیل می‌کنند.

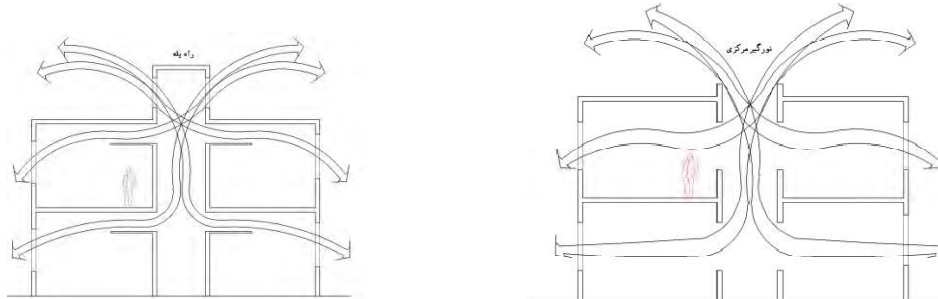
(۴) فضاهای مختلفی را می‌توان با ترکیب اتاق‌ها با فضاهای ارتباطی عمودی ایجاد کرد.

با فراهم آوردن فضای ارتباطی عمودی، عملکرد تهویه طبیعی در ساختمان‌ها می‌تواند افزایش یابد.

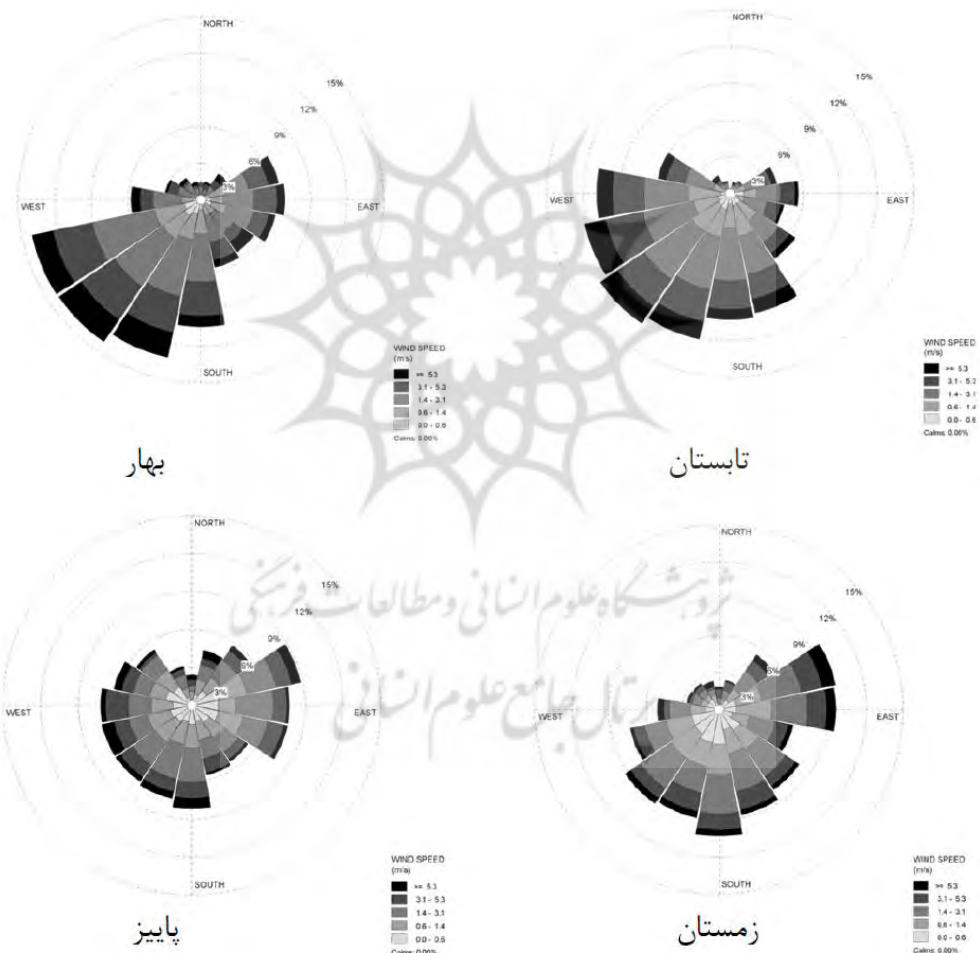
1. Indoor air quality (IAQ)

از راهکارهای پیشنهادی، تاثیر تهویه‌ی طبیعی ایجاد شده بر میزان مصرف انرژی در دوره گرم سال مورد ارزیابی قرار گرفت.

طبیعی دریافتی با زیربنای ۱۵۸۰ متر مربع در شهرک خیام در شهر گرگان انجام شد. با شبیه‌سازی الگوهای طراحی شده در نرم افزار دیزاین بیلدر و افزودن هریک



شکل ۶: تاثیر اثر دودکشی فضای ارتقاطی عمودی (Murakami et al., 2004)

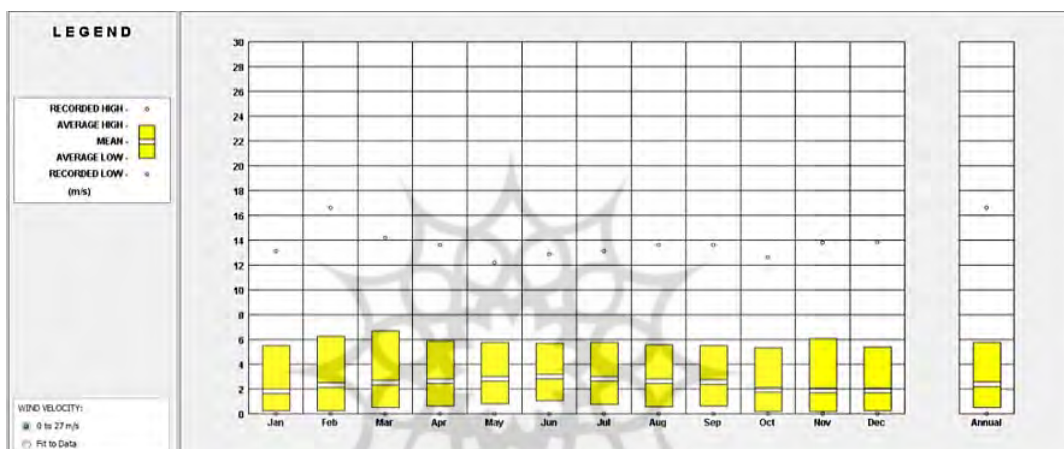


شکل ۷: نمودار گلبداد (فصلی) گرگان (خوری و همکاران، ۱۳۹۶)

ویژگی‌های اقلیمی منطقه

سرعت باد ماهانه (شکل ۸) مشاهده می‌شود که میانگین سرعت باد در سال $2/5$ متر بر ثانیه است، همچنین این نمودار نشان می‌دهد که حداقل سرعت باد در انتهای زمستان و همچنین در فصل پاییز اتفاق می‌افتد که سرعت باد به بیش از 6 متر بر ثانیه می‌رسد. با توجه به فراوانی اندک بادهای پرسرعت و فراغیری متوسط سرعت ماهانه در محدوده آسایش انسان، امکان استفاده از پتانسیل باد در کل سال وجود دارد (خوری و همکاران، ۱۳۹۶).

باد: بادهای غالب بیشتر در فصل تابستان می‌وزد و با توجه به نمودار گلباد فصل تابستان (شکل ۷)، بیشتر بادهای غالب از سمت جنوب غربی می‌وزند که بسیار مطلوب هستند و می‌توان آنها را جهت کاهش رطوبت محیط و سرمایش طبیعی در ساختمان استفاده کرد. در حالی که مدت زمان وزش بادهای غالب در فصل زمستان و پاییز بسیار کم بوده و به همین دلیل به شکل مشهودی قابل استفاده نیستند بقیه بادهای ماهانه نیز در حدود 20 درصد به بالا در همه ماههای سال اتفاق می‌افتد (خوری و همکاران، ۱۳۹۶). در نمودار متوسط



شکل ۸: نمودار متوسط سرعت باد (ماهانه) گرگان (خوری و همکاران، ۱۳۹۶)

جهت و درصد وزش باد در ماههای سرد سال را نمایش می‌دهد.

جهت و درصد وزش باد در ماههای سال با توجه به داده‌های ماهانه و گلبادهای مربوط به هرماه استخراج و در جدول ۱ و ۲ نمایش داده شده است. جدول ۱

جدول ۱: جهت بادهای غالب با توجه به درصد در ماههای سرد سال

| ماههای میلادی | ماههای شمسی | تاریخ شروع و پایان | جهات وزش باد | درصد وزش باد |
|---------------|-------------|--------------------|---------------------------------|--------------|
| January | دی | ۱۱/۱۱ - ۱۰/۱۱ | جنوب و شمال شرقی | ۱۴ |
| February | بهمن | ۱۲/۹ - ۱۱/۱۲ | جنوب غربی و جنوب شرقی | ۱۱ |
| March | اسفند | ۱/۱۱ - ۱۲/۱۰ | جنوب غربی، شرق، جنوب شرقی | ۱۳.۵ |
| April | فروردین | ۲/۱۰ - ۱/۱۲ | جنوب غربی، جنوب، شرق | ۱۴ |
| November | آبان | ۹/۱۰ - ۸/۱۰ | شمال شرقی، شمال غربی | ۱۴.۸ |
| December | آذر | ۱۰/۱۰ - ۹/۱۱ | جنوب غربی، شمال شرقی، جنوب شرقی | ۱۱.۵ |

مأخذ: نگارندگان

جدول ۲ جهت بادهای غالب با توجه به درصد در ماههای گرم سال طبیعی موثر است. همچنین در طراحی الگوها و نحوه ایجاد نفوذ هوا و استفاده از فاکتورهای طراحی در بنا به آنها توجه شده است.

جدول ۲: جهت بادهای غالب با توجه به درصد در ماههای گرم سال

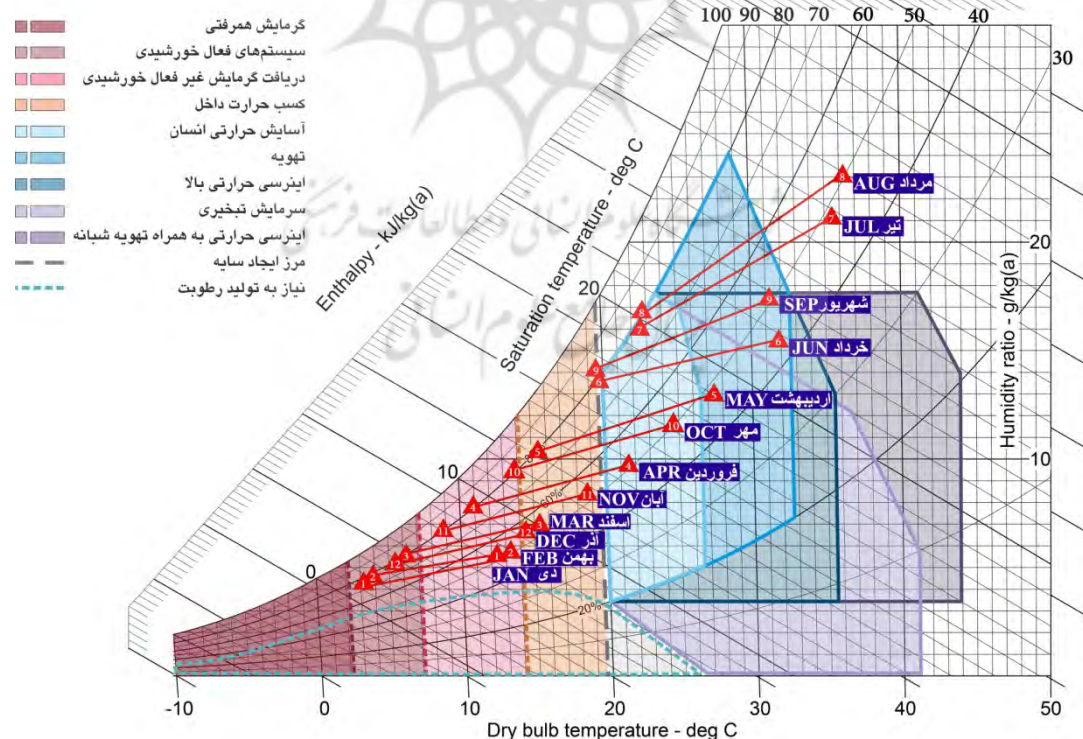
| ماههای میلادی | ماههای شمسی | تاریخ شروع و پایان | جهات وزش باد | درصد وزش باد |
|---------------|-------------|--------------------|----------------------|--------------|
| May | اردیبهشت | ۳/۱۰ - ۲/۱۱ | جنوب غربی و جنوب | ۱۵ |
| June | خرداد | ۴/۹ - ۳/۱۱ | جنوب غربی | ۲۱ |
| July | تیر | ۵/۹ - ۴/۱۰ | جنوب غربی | ۲۰ |
| August | مرداد | ۶/۹ - ۵/۱۰ | غرب و جنوب | ۱۴ |
| September | شهریور | ۷/۸ - ۶/۱۰ | جنوب غربی و جنوب | ۱۴ |
| October | مهر | ۸/۹ - ۷/۹ | جنوب غربی، غرب، جنوب | ۱۴.۸ |

مأخذ: نگارندگان

ماههایی که در محدوده آبی قرار گرفته اند (این محدوده حدفاصل محدودهایی ۲۰ تا ۳۲ درجه و رطوبت نسبی ۸۰٪ تا ۲۰٪ می‌باشد) نیاز به استفاده از تهویه در آنها وجود دارد. بنابراین با توجه به (شکل ۹) ماههایی که در منطقه نیاز به تهویه قرار گرفته اند به شرح زیر مشخص شدند:

فروردین، اردیبهشت، خرداد، تیر، مرداد، شهریور، مهر (APR-MAY-JUN-JUL-AUG-SEP-OCT)

تعیین دوره نیاز به تهویه طبیعی برای آسایش: از آنجا که هدف این پژوهش بهره‌گیری از نفوذ هوا در طراحی واحدهای مسکونی است، لازم است تا دوره زمانی نیازمند به تهویه در طول سال مشخص شود. بدین منظور از نمودار زیست اقلیمی ساختمانی گیونی استفاده شد. براساس حداکثر و حداقل دما و رطوبت نسبی ماهانه، شرایط اقلیمی برروی نمودار زیست اقلیمی در قالب ۱۲ محدوده خطی ترسیم گردید.



شکل ۹: نمودار زیست اقلیمی (بیوکلیماتیک) - شهر گرگان (مأخذ: نگارندگان)

آبی قرار دارند شامل، ماه‌های فروردین، اردیبهشت، خرداد، تیر، مرداد، شهریور، مهر (APR-MAY-JUN-) امکان استفاده از نفوذها برای ایجاد تهویه طبیعی را دارند. به منظور تعیین برنامه زمانی روزانه بهره مندی از تهویه طبیعی، ساعتی که در طول هریک از ماه‌های مذکور در شرایط نیاز به تهویه قرار می‌گیرند برروی تقویم نیازهای اقلیمی تعیین گردید.

شکل ۱۰ جدول نیازهای اقلیمی گرگان را بر حسب دمای ساعتی ماهانه نشان می‌دهد. رنگ سفید محدوده‌هایی را مشخص کرده است که در آن زمان‌ها نیاز به تهویه طبیعی وجود ندارد، رنگ آبی محدوده‌هایی را مشخص کرده است که در آن زمان‌ها می‌توان از تهویه طبیعی استفاده کرد و رنگ قرمز محدوده‌هایی را مشخص کرده است که در آن ماه‌ها در زمان‌هایی امکان استفاده از تهویه طبیعی وجود نداشته است. به این ترتیب ماه‌هایی که در محدوده

| 0 | jan | feb | mar | apr | may | jun | jul | aug | sep | oct | nov | dec |
|----|-------|-------|-------|-------|-------|-------|-------|-------|-------|-------|-------|-------|
| 1 | 5.35 | 5.868 | 8.297 | 13.24 | 18.2 | 23.37 | 26.23 | 26.45 | 21.57 | 16.34 | 11.21 | 7.124 |
| 2 | 4.909 | 5.412 | 7.847 | 12.73 | 17.62 | 22.78 | 25.62 | 25.8 | 21 | 15.8 | 10.72 | 6.678 |
| 3 | 4.504 | 4.994 | 7.433 | 12.26 | 17.09 | 22.25 | 25.06 | 25.21 | 20.48 | 15.31 | 10.28 | 6.269 |
| 4 | 4.113 | 4.59 | 7.033 | 11.8 | 16.58 | 21.73 | 24.51 | 24.63 | 19.98 | 14.84 | 9.847 | 5.874 |
| 5 | 3.802 | 4.268 | 6.715 | 11.44 | 16.17 | 21.32 | 24.08 | 24.17 | 19.58 | 14.46 | 9.505 | 5.558 |
| 6 | 3.755 | 4.22 | 6.667 | 11.38 | 16.11 | 21.25 | 24.02 | 24.1 | 19.52 | 14.41 | 9.453 | 5.511 |
| 7 | 4.193 | 4.672 | 7.114 | 11.89 | 16.68 | 21.83 | 24.62 | 24.75 | 20.08 | 14.94 | 9.935 | 5.954 |
| 8 | 5.208 | 5.721 | 8.152 | 13.08 | 18.01 | 23.18 | 26.04 | 26.24 | 21.38 | 16.17 | 11.05 | 6.98 |
| 9 | 6.669 | 7.231 | 9.646 | 14.78 | 19.92 | 25.11 | 28.07 | 28.4 | 23.26 | 17.94 | 12.66 | 8.458 |
| 10 | 8.276 | 8.891 | 11.29 | 16.66 | 22.03 | 27.24 | 30.3 | 30.76 | 25.32 | 19.88 | 14.43 | 10.08 |
| 11 | 9.728 | 10.39 | 12.77 | 18.35 | 23.93 | 29.16 | 32.32 | 32.91 | 27.18 | 21.64 | 16.02 | 11.55 |
| 12 | 10.87 | 11.58 | 13.94 | 19.69 | 25.43 | 30.68 | 33.91 | 34.59 | 28.65 | 23.03 | 17.28 | 12.71 |
| 13 | 11.71 | 12.44 | 14.8 | 20.67 | 26.53 | 31.79 | 35.08 | 35.83 | 29.72 | 24.05 | 18.21 | 13.56 |
| 14 | 12.28 | 13.03 | 15.39 | 21.33 | 27.28 | 32.54 | 35.87 | 36.67 | 30.46 | 24.74 | 18.84 | 14.13 |
| 15 | 12.54 | 13.3 | 15.65 | 21.64 | 27.62 | 32.89 | 36.24 | 37.06 | 30.79 | 25.05 | 19.12 | 14.4 |
| 16 | 12.39 | 13.14 | 15.49 | 21.45 | 27.41 | 32.68 | 36.02 | 36.82 | 30.59 | 24.86 | 18.95 | 14.24 |
| 17 | 11.75 | 12.48 | 14.84 | 20.71 | 26.58 | 31.84 | 35.13 | 35.89 | 29.77 | 24.09 | 18.25 | 13.6 |
| 18 | 10.73 | 11.43 | 13.8 | 19.52 | 25.24 | 30.49 | 33.72 | 34.39 | 28.47 | 22.86 | 17.13 | 12.57 |
| 19 | 9.566 | 10.22 | 12.61 | 18.16 | 23.72 | 28.94 | 32.09 | 32.67 | 26.97 | 21.44 | 15.84 | 11.39 |
| 20 | 8.495 | 9.117 | 11.51 | 16.91 | 22.31 | 27.53 | 30.61 | 31.09 | 25.6 | 20.15 | 14.67 | 10.3 |
| 21 | 7.64 | 8.234 | 10.64 | 15.92 | 21.2 | 26.4 | 29.42 | 29.83 | 24.5 | 19.11 | 13.73 | 9.439 |
| 22 | 6.971 | 7.544 | 9.955 | 15.14 | 20.32 | 25.51 | 28.49 | 28.84 | 23.65 | 18.3 | 12.99 | 8.763 |
| 23 | 6.395 | 6.948 | 9.365 | 14.46 | 19.56 | 24.75 | 27.69 | 27.99 | 22.91 | 17.6 | 12.36 | 8.18 |
| 24 | 5.854 | 6.389 | 8.813 | 13.83 | 18.86 | 24.03 | 26.93 | 27.2 | 22.21 | 16.95 | 11.76 | 7.634 |

شکل ۱۰: جدول نیازهای اقلیمی گرگان بر طبق دمای هوا و تعیین محدوده نیاز به تهویه طبیعی (مأخذ: نگارندگان)

زمانی نیاز به تهویه طبیعی نشان می‌دهد.

جدول ۵ جمع بندی نتایج حاصل از نمودار زیست اقلیمی و جدول نیازهای اقلیمی را در قالب برنامه

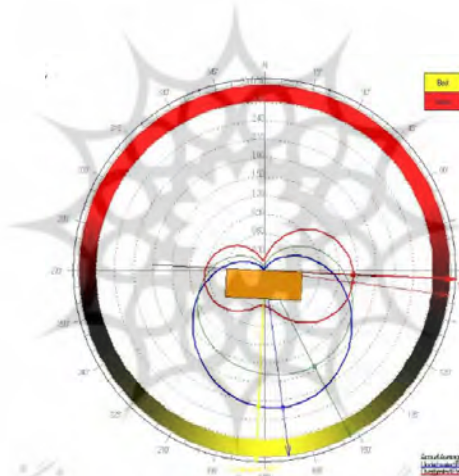
جدول ۵: برنامه زمانی ساعتی ماه‌های گرم سال

| نیاز به تهویه | عدم نیاز به تهویه | ماه‌های شمسی | ماه‌های میلادی |
|---------------|--------------------------------|--------------|----------------|
| ساعت ۱۳ تا ۱۵ | ساعت ۱۲ تا ۱۸ ساعت ۲۴ تا ۲۶ | فروردین | APR |
| ساعت ۱۰ تا ۱۲ | ساعت ۹ تا ۱۱ ساعت ۲۴ تا ۲۳ | اردیبهشت | MAY |
| ✓ | --- | خرداد | JUN |
| ✓ | --- | تیر | JUL |
| ✓ | --- | مرداد | AUG |
| ✓ | ساعت ۱۴ تا ۱۶ | شهریور | SEP |
| ساعت ۱۱ تا ۲۰ | ساعت ۱۰ تا ۱۲ ساعت ۲۴ تا ۲۱ | مهر | OCT |

مأخذ: نگارندگان

کنترل وزش باد را نیز داشته باشدند (Smith, 2005). جهت گیری ساختمان: جهت گیری ساختمان‌ها در هر اقلیم براساس روز درجات سرمایش و گرمایش ماهانه و نیاز به دریافت تابش خورشید تعیین می‌شود. شکل ۱۱ دیاگرام جهت گیری مطلوب ساختمان‌ها در گرگان را نشان می‌دهد. مشاهده می‌شود که در این اقلیم بهترین جهت گیری کشیدگی شرقی غربی ساختمان است که نمای جنوبی آن ۲ الی ۳ درجه به سمت جنوب غربی متمایل شده و بیان این نکته حائز اهمیت است که این دیاگرام با استفاده از ابزار Weather Tool نرم افزار اکوتکت براساس تعیین ماههایی که نیاز به سرمایش و گرمایش دارند برای کل سال ترسیم شده است (خوری و همکاران، ۱۳۹۶).

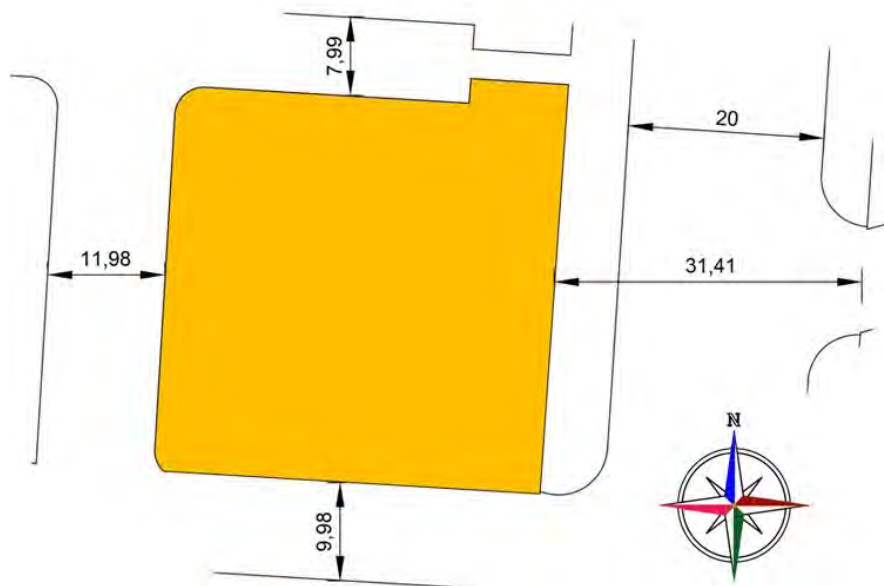
ویژگی‌های معماری اقلیمی گرگان: براساس تقسیمات چهارگانه اقلیم ایران که توسط دکتر حسن گنجی پیشنهاد شده و در واقع صورت تغییر یافته تقسیم بنده کوپن می‌باشد، استان گلستان در حوزه اقلیم معتدل و مرطوب سواحل دریای خزر قرار می‌گیرد (Kasmai, 2006). در گذشته شکل گیری فرم، پلان و جهت گیری در خانه‌های بومی به شدت تحت تاثیر عوامل طبیعی بوده است (Almusade, 2011). عوامل طراحی موثر در این اقلیم عبارتند از: فرم کم عرض، کشیدگی و قرارگیری پلان به صورتی که هوای مطلوب توسط مسیری مشخص از سمت باد خیز به سمت دیگر هدایت شود، قرار گیری بازشوها در دو سمت مخالف برای تهویه دوطرفه موثر و پنجره‌ها باید در ضمن داشتن قابلیت باز شدن، امکان



شکل ۱۱: دیاگرام جهت گیری بهینه ساختمان براساس تابش خورشید در گرگان (خوری و همکاران، ۱۳۹۶)

شده است و یک بلوک مجزا و مستقل شهری می‌باشد، ساختمان طراحی شده در آن از هیچ سو هم‌جواری و همسایگی نداشته و با توجه به این موضوع ساختمان‌های اطراف تاثیری بر شرایط باد و تابش روی ساختمان طراحی شده نداشته است (شکل ۱۲).

روند پژوهش: زمین مورد نظر در منطقه تراکم متوسط مسکونی، حوزه تراکمی ۳ طرح جامع گرگان قرار دارد. حداقل سطح اشغال در این حوزه ۵۵٪ و حداقل تعداد طبقات، ۴ طبقه است که این ضوابط در طراحی در نظر گرفته خواهد شد. این زمین به دلیل اینکه از چهار طرف بوسیله خیابان‌های اطراف محصور



شکل ۱۲: سایت مورد نظر برای طراحی و دسترسی‌های اطراف سایت (مأخذ: نگارندگان)



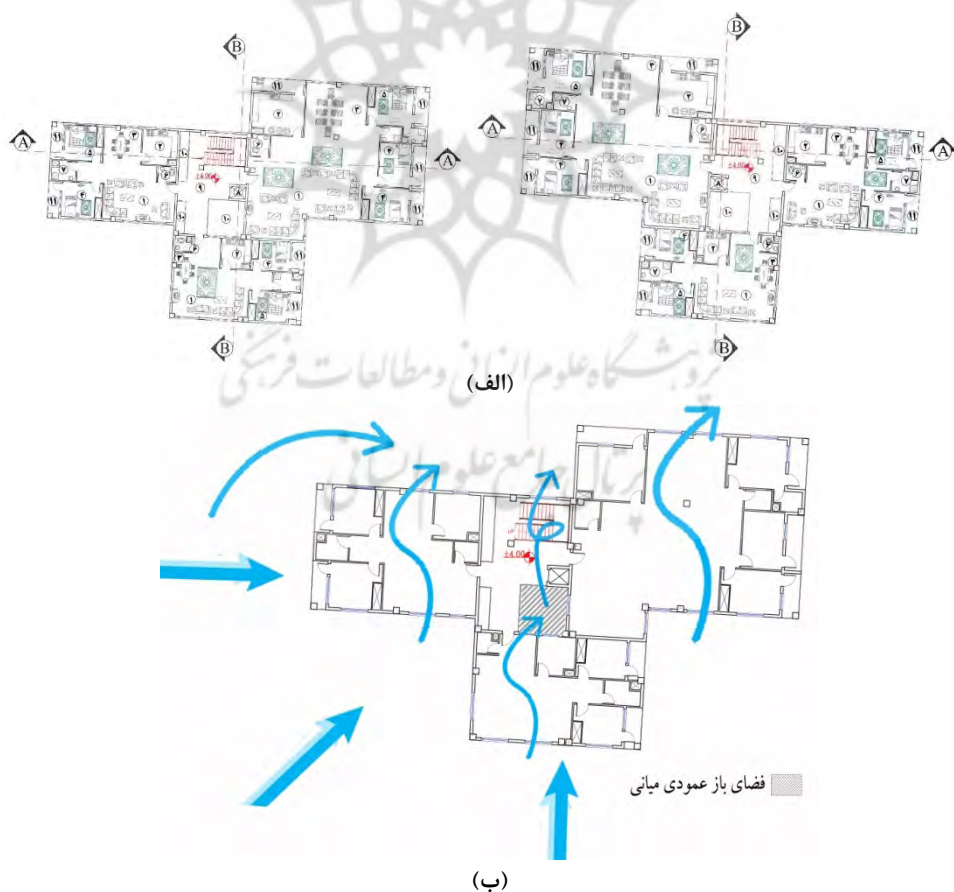
شکل ۱۳: (الف) پلان الگوی Base B (ب) مسیر نفوذ‌هوا در پلان الگوی Base (مأخذ: نگارندگان)

واحدها همانند ساختمان Base بود و امکان جایگیری در زمین انتخابی را داشتند. الگوهای طراحی با هدف بهره‌گیری از تهویه طبیعی از سه روش عمومی استفاده نمودند:

- ۱- فضای ارتباطی عمودی یا Void
- ۲- تهویه عبوری
- ۳- ایجاد فاصله افقی در فضای مشاع میان واحدهای مسکونی هر طبقه به دلیل تفاوت چیدمان واحدهای مسکونی طراحی شده در یک طبقه، هر کدام از الگوهای A و B به صورت قرینه نیز طراحی شدند. در الگوی A فضای باز عمودی میانی به همراه تهویه عبوری استفاده شده، واحد بزرگتر یکبار در سمت شرق و بار دیگر در سمت غرب قرار گرفته است. شکل ۱۴ پلان‌های الگوی A و جهت نفوذ هوا به آن را نشان می‌دهد.

با مشخص شدن زمین و بررسی ضوابط شهری آن، با توجه به ویژگی‌های اقلیمی و راهکارهای طراحی اقلیمی طراحی یک مجموعه ۱۲ واحدی در ۴ طبقه انجام شد. الگوی اولیه یک طراحی معمول براساس روش‌های عمومی طراحی در شهر و با توجه به نحوه قرارگیری سایر بناها دارای کشیدگی شرقی-غربی است، ضمن اینکه در ۴ طرف سایت دسترسی سواره وجود دارد. الگویی که مبنای مقایسه الگوهای بعدی قرار خواهد گرفت با عنوان الگوی پایه (Base) نام گذاری شد. شکل ۱۳ پلان تیپ طبقات این الگو را نشان می‌دهد که شامل ۳ واحد مسکونی با زیر بنای ۱۰۲-۱۱۳-۲۴۰ متری می‌باشد. این الگو مشابه الگوهای متداول منطقه و به صورت پلان فشرده طراحی شده است.

جهت مقایسه ساختمان Base با شرایط تامین تهویه، دو الگوی A و B طراحی شدند که زیر بنای



شکل ۱۴: (الف) پلان الگوهای A1 و A2 (ب) مسیر نفوذ هوا در پلان الگوی A1 (مأخذ: نگارندگان)

فضای نیمه باز مسقف در نظر گرفته شده است. شکل ۱۵ پلان‌های الگوی B و محل نفوذ هوا به بنا را نشان می‌دهد.

در الگوی B با ایجاد فضای باز افقی بخش مشاع، از تهویه عبوری بین واحدها هم بهره گیری شده است. در واقع در این الگو فضای مشاع میانی واحدها در ارتباط مستقیم با فضای بیرون قرار گرفته و به صورت



شکل ۱۵: (الف) پلان الگوهای B1 و B2 (ب) مسیر نفوذ هوا در پلان الگوی B1 (مأخذ: نگارندگان)

شده‌اند. در ادامه برای هر کدام از حالت‌های Base، A1، A2، B1، B2، ۴ شرایط در نظر گرفته شد، شامل:
۱) دارای تهویه طبیعی با آشپزخانه Close ، درهای داخلی Close

شبیه سازی انرژی توسط نرم افزار دیزاین بیلدر^۱ صورت گرفته است، حالت Base شامل ۲ حالت با تهویه مکانیکی روشن و خاموش و باقی حالت‌ها با تهویه طبیعی و بدون تهویه مکانیکی در نظر گرفته

افراد و ماههای May و Oct به دلیل کم شدن روزهای سرد، با نصف ظرفیت حالت قبل تعیین شده است.

- برنامه زمان بندی تهویه طبیعی برای ماههای Apr تا Oct مطابق بند ۲-۳ (تعیین دوره نیاز به تهویه طبیعی برای آسایش) انجام شده است.

نتایج تحقیق

میزان نفوذ هوا به داخل ساختمان: معیار اصلی مقایسه الگوهای مختلف طراحی شده جهت کنترل تهویه طبیعی، نفوذ هوا خارجی^۱ است. طبق تعریف، نفوذ هوا خارجی عبارتست از میزان گرمای جذب شده یا دفع شده از طریق نفوذ هوا زمانی که از تنظیمات تهویه طبیعی عادی در ساختمان استفاده می‌شود. به کارگیری تهویه طبیعی می‌تواند موجب ورود عامدانه هوا از طریق منفذ موجود در پوسته خارجی ساختمان شود (DesignBuilder help).

تأثیر میزان نفوذ هوا بر مصرف انرژی برای الگوهای دارای تهویه طبیعی در دوره گرم سال (Oct تا Apr) در شکل ۱۶ و ۱۷ به نمایش در آمده است. (حروف M نماد مکانیکی، KI نماد آشپزخانه و C نماد بسته و O نماد باز می‌باشند)

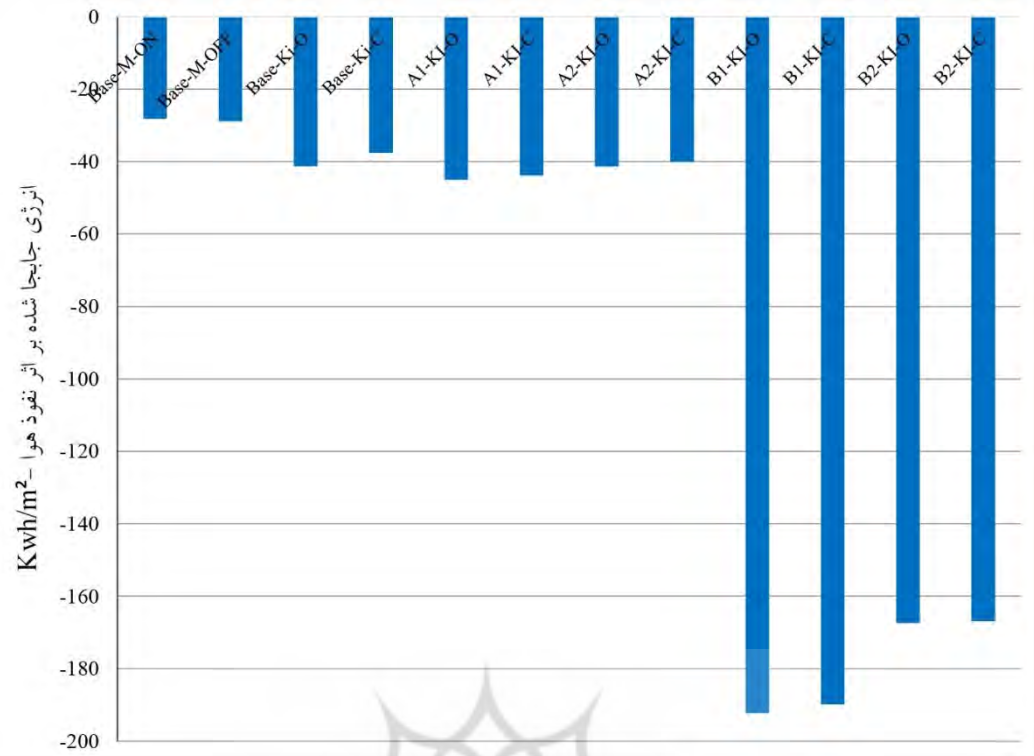
با بررسی دو نمودار شکل ۱۶ و ۱۷ در الگوی B1 زمانی که آشپزخانه و درها باز هستند و تهویه طبیعی فعال است، بیشترین میزان تهویه از طریق نفوذ هوا صورت می‌گیرد و در الگوی Base با درها و آشپزخانه بسته که تنها از تهویه عرضی از طریق پنجره‌ها استفاده می‌کند، کمترین میزان تهویه از طریق میزان هوا اتفاق می‌افتد. میزان بهره مندی (درصد) هریک از الگوهای از نفوذ هوا نسبت به الگوی Base که الگوی دارای تهویه مکانیکی است در نمودار شکل ۱۸ به نمایش در آمده است.

- ۲) دارای تهویه طبیعی با آشپزخانه Close، درهای داخلی Open
- ۳) دارای تهویه طبیعی با آشپزخانه Open ، درهای داخلی Close
- ۴) دارای تهویه طبیعی با آشپزخانه Open ، درهای داخلی Open

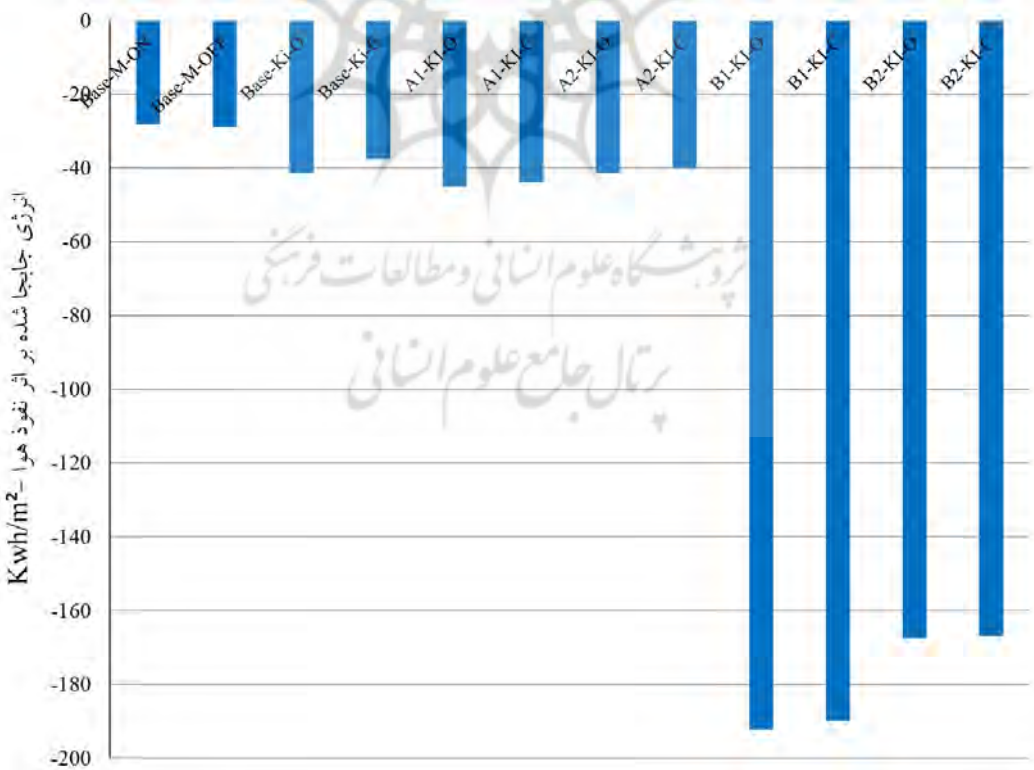
و در مجموع این شرایط به ۲۲ حالت منجر شد. متغیرهای تحقیق که در فرآیند شبیه سازی ثابت فرض شده اند به شرح زیر می‌باشد:

- داده‌های آب و هوایی شهر گرگان مربوط به دوره منتهی به سال ۲۰۱۰.
- برنامه زمان بندی حضور افراد براساس شرایط متدالو فضای مسکونی.
- برنامه زمان بندی مصرف روشنایی براساس حضور افراد و ساعت روشنایی و تاریکی تنظیم شده است، همچنین میزان روشنایی فضاهای براساس استانداردهای فضاهای مسکونی برای تک تک فضای واحدها مشخص شده است.
- میزان مصرف آب گرم در ساختمان مسکونی $\frac{L}{m^2}$ ۱/۶۰ است.
- مصالح به کار رفته در ساختمان شامل: دیوارهای بلوک بتون سبک ، پنجره‌های دوجداره و درهای چوبی و سقف طبقات تیرچه بلوک است.
- سیستم تاسیسات گرمایشی، رادیاتور با سوخت گاز و سیستم سرمایشی، با کنترل موضعی با انرژی برق است.
- برنامه زمان بندی سیستم سرمایش برای ماههای Sep, Aug, Jun Jul، براساس حضور افراد و در ماههای May و Oct بدليل کم شدن روزهای گرم، با نصف ظرفیت حالت قبل مشخص شده است.
- برنامه زمان بندی سیستم گرمایش برای ماههای Dec، Nov، Apr، Mar، Feb، Jan براساس حضور

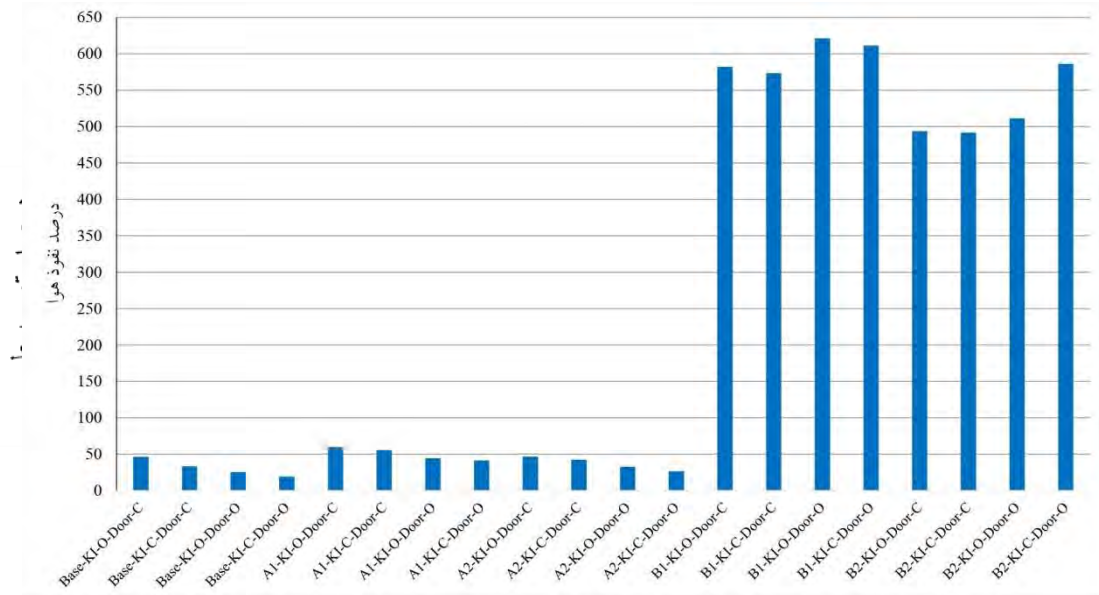
1. External infiltration



شکل ۱۶- نمودار میزان مصرف انرژی ناشی از نفوذ هوای در تمام الگوهای در حالت درهای بسته در دوره گرم سال (مأخذ: نگارندگان)



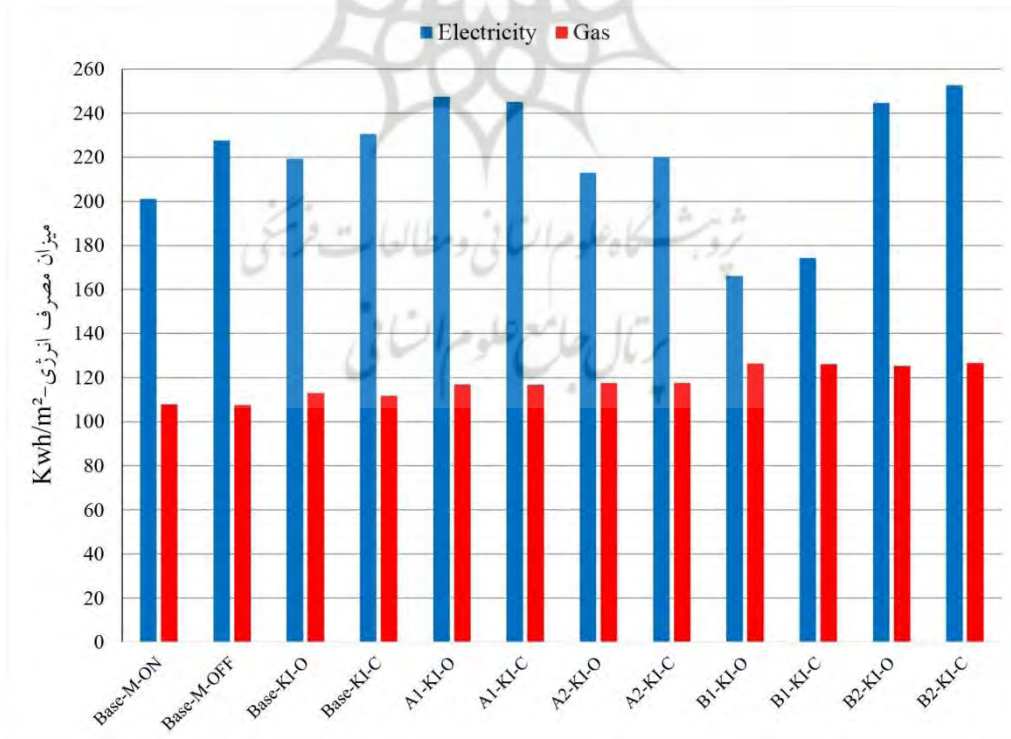
شکل ۱۷: نمودار میزان مصرف انرژی ناشی از نفوذ هوای در تمام الگوهای در حالت درهای باز در دوره گرم سال (مأخذ: نگارندگان)



شکل ۱۸: نمودار درصد میزان نفوذ هوای الگوها در دوره گرم سال (مأخذ: نگارندگان)

کل مصرف انرژی (Fuel total): مصرف انرژی کل برق و گاز در الگوهای دارای تهویه طبیعی در دوره گرم سال (Oct to Apr) در نمودار شکل ۱۹ و ۲۰ نمایش داده شده است.

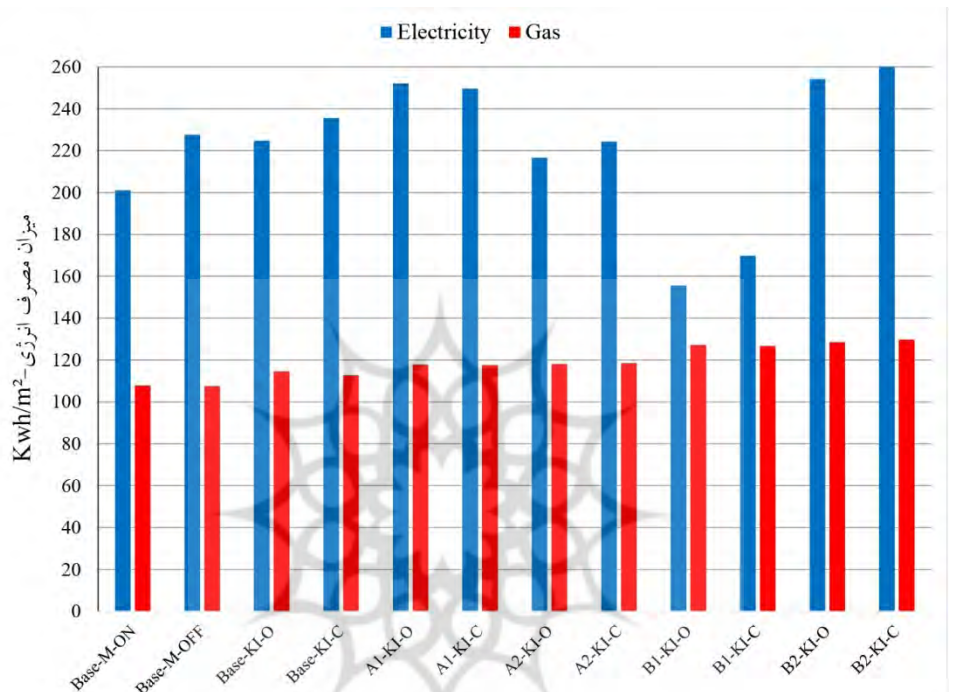
با توجه به نمودار شکل ۱۸ مشاهده می‌شود، الگوی B1 با آشپزخانه و درهای باز در دوره گرم سال بهترین الگو از نظر مصرف انرژی است و در همین دوره با ۶۲۱٪ نفوذ هوا بیشترین میزان تهویه را در این دوره تجربه می‌کند.



شکل ۱۹: نمودار میزان مصرف انرژی کل در تمام الگوها در حالت درهای بسته در دوره گرم سال (مأخذ: نگارندگان)

گاز در حالت‌های دیگر شده است. با توجه به نمودار شکل ۱۹ میزان مصرف برق و گاز در الگوی B1 نسبت به باقی حالت‌ها کمتر است که این صرفه جویی مصرف انرژی را در حالت مذکور نشان می‌دهد که این به دلیل کاهش چشمگیر مصرف برق ناشی از بهره گیری از تهویه طبیعی است.

در حالت درهای بسته الگوی Base که تهویه مکانیکی وجود دارد، نسبت به حالت‌های تهویه طبیعی گاز کمتری مصرف می‌شود، زیرا در حالت‌های دارای تهویه، جریان هوا از طریق فضای ارتباطی عمودی و تهویه مستقیم و سطح تماس بیشتر بنا با محیط پیرامون، باعث هدر رفت انرژی شده و نیاز به گرمایش بیشتری داشته که در نتیجه موجب افزایش مصرف



شکل ۲۰: نمودار میزان مصرف انرژی کل در تمام الگوهای باز در دوره گرم سال (مأخذ: نگارندگان)



شکل ۲۱: درصد صرفه جویی مصرف انرژی هریک از الگوهای در دوره گرم سال (مأخذ: نگارندگان)

است. در عین حال واحد بزرگتر پشت به باد و واحد کوچکتر رو به باد قرار گرفته است تا هیچ یک از واحدها در محدوده سایه باد قرار نگیرند. در حالتی که آشپزخانه و درهای داخلی باز هستند، بیشترین میزان نفوذ هوا به داخل ساختمان اتفاق می‌افتد و حدود ۶ برابر حالت پایه (۶۲۱٪) هوا دریافت می‌کند، بنابراین بهترین الگو از نظر ایجاد تهویه طبیعی در دوره گرم سال است.

بنابراین استفاده از نفوذها به روش مستقیم مانند الگوی B1 در دوره گرم سال برای اقلیم گرگان مناسب است و مصرف انرژی را در این دوره کاهش می‌دهد. این الگو از نفوذها مستقیم استفاده می‌کند، واحد کوچکتر در سمت غرب و واحد بزرگتر سمت شرق قرار گرفته است و چیدمان واحدها به نحوی است که بتوانند حداکثر نفوذها را داشته باشند. این الگونشان داد که ایجاد کردن بازشوهای وسیع در فضای عمومی پلانتی که دارای نفوذها مستقیم است، در محلهای بخورد باد به ساختمان باعث هدایت بهتر باد به داخل ساختمان و جلوگیری از انحراف آن می‌شود و تاثیر نفوذها را تا ۶۲۱٪ نسبت به حالت بدون تهویه طبیعی افزایش می‌دهد و ۴۳٪ صرفه جویی انرژی در دوره گرم سال ایجاد می‌کند.

نتایج نشان داد که الگوهای طراحی امروزی ساختمان‌ها (Base) نمی‌توانند تهویه طبیعی مورد نیاز را در ساختمان ایجاد کنند. همچنین استفاده از الگوهایی که تنها از فضای ارتباطی عمودی بهره می‌برند (مانند الگوی A) نه تنها در ایجاد تهویه طبیعی کارا نیستند، بلکه میزان مصرف انرژی سالانه را نیز به شدت افزایش می‌دهند. شاید بتوان با افزایش سطح ارتباط عمودی و ترکیب آن با شرایط الگوی B به شرایط بهتری از نظر مصرف انرژی دست یافت. در طراحی الگوهای چند واحدی مسکونی باید توجه کرد که هیچ گاه واحد بزرگتر در مقابل جهت دریافت باد قرار نگیرد (مانند A2 و B2)، در غیر این صورت میزان تهویه ناشی از نفوذ هوا افت کرده و مصرف انرژی سالانه افزایش می‌یابد.

باتوجه به نمودار شکل ۲۰ میزان مصرف برق و گاز همانند نمودار شکل ۱۹ در الگوی B1 نسبت به باقی حالت‌ها کمتر است، که صرفه جویی مصرف انرژی را در این حالت نشان می‌دهد. همچنین میزان صرفه جویی مصرف انرژی در الگوی B1 زمانی که آشپزخانه و درهای داخلی باز است نیز از حالت بسته (Close) بهتر است، زیرا جریان هوای بهتری در محیط برقرار می‌شود. درصد تغییر مصرف انرژی در دوره گرم سال در حالت‌های مختلف هر یک از الگوها نسبت به شرایط Base بدون تهویه طبیعی در نمودار شکل ۲۱ مشخص شده است.

باتوجه به مقایسه درصد صرفه جویی مصرف انرژی دریافت می‌شود که:

(۱) الگوی B1 با آشپزخانه و درهای باز با ۴۳٪ صرفه جویی در مصرف انرژی در دوره گرم سال بهترین الگو از نظر مصرف انرژی می‌باشد.

(۲) الگوی B1 با "آشپزخانه باز و درهای بسته" و "آشپزخانه بسته و درهای باز" و "آشپزخانه و درهای بسته، به ترتیب با ۷۸٪ و ۵۰٪ و ۲۷٪ در رتبه‌های بعدی از نظر صرفه جویی در دوره گرم سال قرار دارند.

(۳) در سایر الگوها نه تنها صرفه جویی مصرف انرژی اتفاق نیفتاده، بلکه میزان مصرف انرژی افزایش یافته است.

جمع بندی و نتیجه گیری

پژوهش حاضر به منظور شناخت وضعیت بهینه استفاده از نفوذها در مجتمع‌های مسکونی واقع در اقلیم شهر گرگان انجام شده است. این پژوهش در نظر دارد الگوی بهینه از نظر کاهش مصرف انرژی را با توجه به قابلیت میزان نفوذها و ایجاد تهویه در دوره گرم سال معرفی کند. همانطور که ملاحظه شد تنها الگوی طراحی شده دارای صرفه جویی در مصرف انرژی الگوی B1 بود. این الگوکه از نفوذها مستقیم استفاده می‌کند، الگویی است که واحدها در آن جدا از یکدیگر و با فاصله نسبت به هم قرار گرفته‌اند و این فاصله در فضای مشاع میان واحدها پیش بینی شده

منابع

۱. اسماعیلی، شیما. ۱۳۹۵. چگونگی تاثیر بازشوها بر تهویه طبیعی جهت بهینه سازی مصرف انرژی در خانه‌های سنتی مازندران(نمونه موردي:روستای کندلوس). چهارمین کنفرانس بین المللی پژوهش‌های نوین در عمران،معماری و شهر سازی. بارسلون-اسپانیا.
۲. خوری، زینب. فرج زاد، محمد. نظیف، حسن. ۱۳۹۶. شاخص‌های طراحی اقلیمی ساختمان‌های مسکونی در شهر گرگان، پنجمین کنگره بین المللی عمران،معماری و توسعه شهری. تهران.
۳. داوری نژاد مقدم، مسعود. صلبی، محمد. ۱۳۹۰. بررسی تأثیرات عوامل اقلیمی بر معماری بومی. اولین کنفرانس بنای ماندگار. مشهد.
۴. زمردیان، زهرا. تحصیل‌وست، محمد. ۱۳۹۴. اعتبار سنجی نرم افزارهای شبیه سازی انرژی در ساختمان: با رویکرد تجربی و مقایسه‌ای. نشریه انرژی ایران، دوره ۱۸، شماره ۴.
۵. طاهباز، منصوره. جلیلیان، ش. ۱۳۹۰. نقش طراحی معماری در کاهش مصرف انرژی در ساختمان(انرژی باد در معماری). مرکزآموزش علمی-کاربردی، گروه بین المللی ره شهر(کوییک بیلد)، نشریه ۱۲۹، تابستان.
۶. عرب، مريم. فرج‌زاد، محمد. ۱۳۹۶. طراحی بناهای خاک پناه بر مبنای اصول معماري پایدار جهت کاهش مصرف. فصلنامه پژوهش‌های سیاست‌گذاری و برنامه ریزی انرژی، ۱۴۷-۱۷۳.
۷. غفاری جباری، شهلا. غفاری جباری، شیوا. صالح، الهام. ۱۳۹۲. راهکارهای طراحی مسکن در بهینه سازی. مجله پژوهش‌های برنامه ریزی و سیاست‌گذاری انرژی، ۱۱۵-۱۱۲.
۸. کسمایی، مرتضی. ۱۳۹۱. اقلیم و معماری. تهران: شرکت خانه سازی ایران، بخش تحقیق.
۹. کسمایی، مرتضی. ۱۳۸۸. پنهانه بندی و راهنمای طراحی اقلیمی، اقلیم معتدل و مريطوب(استان‌های گیلان و مازندران). تهران: مرکز تحقیقات ساختمان و مسکن.
10. Almusade, A. 2011. Biophilic and Bioclimatic Architecture. Uk: Springer-Verlag.
11. Allard, F., and Ghiaus, C. 2005. Natural Ventilation in the Urban Environment: Assessment and Design. Uk; Earth scan.
12. Battle McCarthy, C. 1999. Wind Towers, Jon Wiley & Sons Ltd. Consulting Engineers.
13. CIBSE. 2005. Natural ventilation in nondomestic buildings. London: Chartered Institution of Building Services Engineers.
14. Cai, W.G., Wu, Y., Zhong, Y., and Ren, H. 2009. China building energy consumption: Situation, challenges and corresponding measures. Energy Policy. 37(6), 2054-2059.
15. Cao, J., Li, M., Wang, M., Xiong, M., and Meng, F. 2017. Effects of climate change on outdoor meteorological parameters for building energy-saving design in the different climate zones of China. Energy and buildings. 146, 65-72.
16. Etheridge, D. 2012. Natural Ventilation of Buildings: Theory, Measurement and Design. John Wiley & Sons, Ltd., London, UK.
17. Farea, T.G., Ossen, D.R., Alkaff, S., and Kotani, H. 2015. CFD modeling for natural ventilation in a lightwell connected to outdoor through horizontal voids, Energy and Buildings 86-502-513.
18. Ge, F.H., Guo, X.L., Liu, H.K., Wang, J., and Lu, C.Y. 2013. Energy performance of air cooling systems 16 considering indoor temperature and relative humidity in different climate zones in China, Energy and Buildings. 64 (5), 145-153.
19. Givoni, B. 1998. Climate Consideration in Building and Urban Design. Van Nostrand Reinhold.
20. Ismail, A.M. 1996. Wind-Driven Natural Ventilation In High-Rise Office Buildings With Special Reference to The Hot-Humid Climate of Malaysia, PhD thesis, The Welsh School of Architecture, University of Wales College Of Cardiff, Wales.
21. Kasmai, M. 2006. Climate and Archiecture. Isfahan: Khak.
22. Kotani, H., and Satoh, T.R. 2003. Yamanaka, Natural ventilation of light well in high-rise apartment building, Energy and Buildings.. 35, 427-434.
23. Kwok, Y., Lai, A., Lau, K., Chane, P., Lavafpourf, Y., Ho, J., and Ng, E. 2017. Thermal comfort and energy performance of public rental housing under typical and near-extreme weather conditions in Hong Kong. Energy and Buildings.

24. Lama, J.C. Wan, K.K.W. Tsanga, C.L. Liu, Y. 2008. Building energy efficiency in different climates. *Energy Conversion and Management*. 49(8), 2354-2366.
25. Li, D.H.W. Yang, L., and Lam, J.C. 2012. Impact of climate change on energy use in the built environment in different climate zones – A review, *Energy*. 42(1), 103-112.
26. Muhsin, F., Mohammad Yusoff, F., Mohamed, M., and Sapijan, A. 2017. CFD modeling of natural ventilation in a void connected to the living units of multi-storey housing for thermal comfort. *Energy and Building*. PP.1-33
27. Murakami, S., Kato, S., Ooka, R., and Shiraishi, Y. 2004. Design of a porous-type residential building model with low environmental load in hot and humid Asia, *Energy and Buildings*.36, 1181-1183.
28. Omrani, S., Garcia-Hansen, V., Capra, B., and Drogemuller, R. 2017. On the effect of provision of balconies on natural ventilation and thermal comfort in high-rise residential buildings. *Building and Environment*.
29. Saadatjoo, P., Mahdavinejad, M.J. and Zhang, G. 2017. A study on terraced apartments and their natural ventilation performance in hot and humid regions. *Tsinghua University Press and Springer-Verlag GmbH Germany*.
30. Smith, P. 2005. *Architecture In a Climate Of Change [Electronic version]* .Uk: Architectural Press An imprint of Elsevier.
31. Van Hooff, T., and Blocken, B. 2012. Full-scale measurements of indoor environmental conditions and natural ventilation in a large semi-enclosed stadium:possibilities and limitations for CFD validation. *J.Wind Eng Ind Aerodyn*. PP.330-341.



